

九州大学工学部 正員 橋本 武
長崎大学工学部 正員 ○高橋和雄

1. 緒言 薄板の過渡振動問題において、応答振幅が板厚に比べて無視できない場合には、板面内の引張力に起因する非線形項の影響が顕著になる。このような場合には、板の有限変形理論に基づいて解析しなければならないが、その運動方程式に非線形項が含まれるため、自由振動の項と強制振動の項との重ね合わせが不可能となる。したがって、過渡振動の解析においては困難になり、このため板の自由振動などの非線形過渡振動と取扱って研究は極めて少ないようである¹⁾。著者らはこれまで近似解法としてガラーキン法を用い、かつ Berger の有限変形理論²⁾に基づいて、矩形および扇形板の非線形振動と解明し、その自由振動時における振動数や定常振動時における応答振幅に非線形項の及ぼす影響を検討してきた^{3),4)}。つづいて、著者らは薄板の非線形過渡振動と解明せんとするものであるが、本論文では矩形ステップや指数関数的減衰パルスの衝撃荷重と受ける直線辺半ば支持扇形板を対象に、Bauer の自由変位の過渡振動解析に際して提案した振動法を用いて論ずるのである。

2. 解法 全面に等価荷重 $p f(t)$ の作用と受ける板の非線形曲げ振動の微分方程式は次のごとく与えられる。

$$D \nabla^4 w - N \nabla^2 w + \rho h \frac{\partial^2 w}{\partial t^2} = p f(t) \quad (1)$$

$$\frac{N r^2}{12 D} = \frac{\partial u}{\partial r} + \frac{1}{2} \left(\frac{\partial w}{\partial r} \right)^2 + \frac{u}{r} + \frac{1}{r} \frac{\partial v}{\partial \theta} + \frac{1}{2 r^2} \left(\frac{\partial w}{\partial \theta} \right)^2 = \frac{1-\nu}{E h} (N_r + N_\theta) \quad (2)$$

ここに、 $\nabla^2 = \frac{\partial^2}{\partial r^2} + \frac{1}{r} \frac{\partial}{\partial r} + \frac{1}{r^2} \frac{\partial^2}{\partial \theta^2}$ 、 r, θ : 極座標系、

h : 板厚、 ρ : 板の密度、 $D = E h^3 / (12(1-\nu^2))$: 板剛度、

E : 板のヤング率、 ν : 板のポアソン比、 t : 時間、

w : 板のたわみ、 u, v : 板の半径、接線方向の面内変位、 N_r, N_θ : 板の半径、接線方向の面内応力、 p : 荷重強度、 $f(t)$: 外力関数

N : N_r, N_θ と同じ次元ととり定数

図-1 に示す扇形板の全周辺で面内変位がゼロとすれば、式(2)は次式となる。

$$\frac{N r^2}{12 D} \alpha (a^2 - b^2) = -\frac{1}{2} \int_b^a \int_0^\alpha w (\nabla^2 w) r dr d\theta \quad (3)$$

式(1)および式(3)の近似解とすうすため、板のたわみ w を次のように仮定する。

$$w = W(r, \theta) \cdot F(t) \quad (4) \quad \text{ここに、} W(r, \theta) : \text{境界条件と満足する座標関数、} F(t) : \text{未知の時間関数}$$

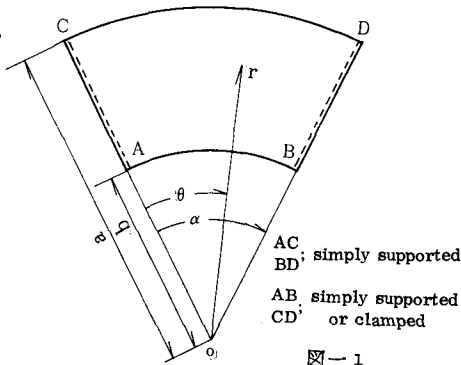
式(4)の座標関数とじて、扇形板の線形振動時における基本振動の標準関数を用うれば、図-1 に示す扇形板の場合には $W(r, \theta)$ が次のように厳密に与えられる。

$$W(r, \theta) = \{ A_2 J_n(kr) + B_2 Y_n(kr) + C_2 I_n(kr) + D_2 K_n(kr) \} \sin n\theta \quad (4) \quad \text{ここに、}$$

$J_n(kr), Y_n(kr)$: n 次の第一種、第二種 Bessel 関数、 $I_n(kr), K_n(kr)$: 変形ユークス n 次の第一種、第二種 Bessel 関数、

A_2, B_2, C_2, D_2 : 積分定数、 $\xi = \gamma a$ 、 $k = a \sqrt{\frac{12 \rho \omega^2}{D}}$: 線形振動の固有値、 ω : 線形振動の固有円振動数

式(5)と式(4)に代入して与えらる結果を式(1)に代入し、かつ標準関数に関して $\nabla^4 w = \rho h \omega^2 w / D$ が成立するとして考慮すれば、式(1)が次のように書き改められる。



$$\omega^2 \rho W F - N D^2 W F + \rho \rho W \ddot{F} = \rho f(t) \quad (6)$$

式(6)にガウーヤン法を適用するに、式(3)を用いて \$N\$ と消去すれば、時間に関する 2 階の非線形常微分方程式が求められる。この微分方程式の基礎式は、

$$\ddot{F} + \omega^2 F + \varepsilon \omega^2 F^3 = \omega^2 \frac{\rho a^4}{E R^3} f(t) \quad (7)$$

$$\therefore \varepsilon = \frac{\rho}{R^2}, \quad \delta = \frac{6}{1-\mu^2} \frac{\nu^2}{R}, \quad \lambda = \frac{28(1-\nu^2)}{\pi} \frac{\nu}{R} \frac{1}{R^2}, \quad \mu = t/a \text{ (内外径比)}$$

$$\varphi = \int_{\mu}^{\xi} \{A \times J_x(k\xi) + B \times Y_x(k\xi) + C \times I_x(k\xi) + D \times K_x(k\xi)\} \{A \times J_x(k\xi) + B \times Y_x(k\xi) - C \times I_x(k\xi) - D \times K_x(k\xi)\} \xi d\xi, \quad \eta = \int_{\mu}^{\xi} \{A \times J_x(k\xi) + B \times Y_x(k\xi) + C \times I_x(k\xi) + D \times K_x(k\xi)\}^2 \xi d\xi, \quad \lambda = \int_{\mu}^{\xi} \{A \times J_x(k\xi) + B \times Y_x(k\xi) + C \times I_x(k\xi) + D \times K_x(k\xi)\} \xi d\xi$$

式(7)はその式形より明らかになるように、非線形常微分方程式であり、\$t=0\$ のとき、諸量は 0 である。\$t > 0\$ のときは、余関数と特殊解とを重畳合わせで解くという手法を適用することは不可能である。\$t > 0\$ のときは次のようにこの解法と工夫する必要がある。

よって、式(7)の一般解 \$F(t)\$ を、2つの関数 \$G(t)\$, \$Y(t)\$ を用いて

$$F(t) = Y(t) + G(t) \quad (8) \quad \text{のように表わし、これを式(7)に代入すれば次式がえられる。}$$

$$\ddot{Y} + \omega^2 Y + \ddot{G} + \omega^2 G + \varepsilon \omega^2 (Y+G)^3 = \omega^2 \frac{\rho a^4}{E R^3} f(t) \quad (9)$$

上式において、\$G(t)\$ と \$\ddot{G}(t) + \omega^2 G(t) = \omega^2 \frac{\rho a^4}{E R^3} f(t)\$ なる線形微分方程式の特殊解 \$G^*(t)\$ とするよう(\$\varepsilon\$ は定数)とすれば、式(9)が関数 \$Y(t)\$ に関する非線形微分方程式となり次のようにえられる。

$$\ddot{Y} + \omega^2 Y = -\varepsilon \omega^2 (Y+G^*)^3 \quad (10)$$

\$\varepsilon < 1\$ の場合には摂動法を用いて式(10)を解くことができ、この際本題の初期条件が次のように与えられる。

$$F(0) = 0, \quad \dot{F}(0) = 0 \quad \text{よって、} \quad Y(0) = -G^*(0), \quad \dot{Y}(0) = -\dot{G}^*(0) \quad (11)$$

ここで、\$Y\$ および \$t\$ と次のように \$\varepsilon\$ のべき級数に展開できるとする。

$$Y(\xi) = \sum_{n=0}^{\infty} Y_n(\xi) \varepsilon^n, \quad t = \xi + \sum_{n=1}^{\infty} T_n(\xi) \varepsilon^n \quad (12) \quad \text{ここに、} Y_n(\xi), T_n(\xi) : \text{未知関数}$$

式(12)を式(10)に代入すれば

$$\frac{\left\{ \sum_{n=0}^{\infty} \ddot{Y}_n(\xi) \varepsilon^n \right\} \left\{ 1 + \sum_{n=1}^{\infty} T_n(\xi) \varepsilon^n \right\} - \left\{ \sum_{n=0}^{\infty} Y_n(\xi) \varepsilon^n \right\} \left\{ \sum_{n=1}^{\infty} T_n(\xi) \varepsilon^n \right\}}{\left\{ 1 + \sum_{n=1}^{\infty} T_n(\xi) \varepsilon^n \right\}^3} + \omega^2 \sum_{n=0}^{\infty} Y_n(\xi) \varepsilon^n = -\varepsilon \omega^2 \left\{ \sum_{n=0}^{\infty} Y_n(\xi) \varepsilon^n + G^*(\xi + \sum_{n=1}^{\infty} T_n(\xi) \varepsilon^n) \right\}^3 \quad (13)$$

式(13)を \$\varepsilon\$ のべき級数に展開して、その各べきの係数を零とすれば、次のような定数係数線形微分方程式がえられる。

$$\ddot{Y}_0 + \omega^2 Y_0 = 0 \quad (14-1)$$

$$\ddot{Y}_1 + \omega^2 Y_1 = 2\dot{T}_1 \dot{Y}_0 + \dot{Y}_0 \ddot{T}_1 - \omega^2 (Y_0 + G^*)^3 \quad (14-2)$$

$$\ddot{Y}_2 + \omega^2 Y_2 = 2\dot{T}_2 \dot{Y}_0 + 2\dot{T}_1 \ddot{Y}_1 - 3\dot{Y}_0 \dot{T}_1^2 + \dot{Y}_1 \ddot{T}_1 + \dot{Y}_0 \ddot{T}_2 - 3\dot{Y}_0 \dot{T}_1 \dot{T}_1 - 3\omega^2 (Y_0 + G^*)^2 (Y_1 + G^* \dot{T}_1) \quad (14-3)$$

式(14)の \$Y_n\$ (\$n=0, 1, 2, \dots\$) に関する微分方程式は次の初期条件のもとに逐次解くことができる。

$$Y_0(0) = -G^*(0), \quad \dot{Y}_0(0) = -\dot{G}^*(0) \quad (15)$$

$$Y_n(0) = 0, \quad \dot{Y}_n(0) = 0, \quad n=1, 2, \dots$$

また、\$T_n\$ (\$n=1, 2, \dots\$) に関する初期条件は式(12)の中

式より \$\xi=0\$ で \$t=0\$ であるから

$$T_n(0) = 0, \quad n=1, 2, \dots \quad (16)$$

(i) 矩形ステップ型の衝撃荷重(図-2(a))

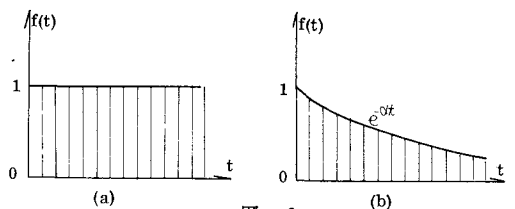


図-2

$f(t) = 1$ であるから、 $\ddot{q} + \omega^2 q = \omega^2 \frac{PA^0}{EA^0}$ の特解 q^* および ω^2 の微係数 q^{**} 次のように与えられる。

$$q^*(0) = \int \frac{PA^0}{EA^0}, \quad \dot{q}^*(0) = 0 \quad (16)$$

$t = 0^+$ より、式(15)の Y_0 に関する初期条件は、本例では次のように表わされる。

$$Y_0(0) = -\omega^2 \frac{PA^0}{EA^0}, \quad \dot{Y}_0(0) = 0 \quad (17)$$

式(14-1)の解と式(17)の初期条件の δ とは解けば、 Y_0 次のように算定される。

$$Y_0 = -\omega^2 \frac{PA^0}{EA^0} \cos \omega t \quad (18) \quad \text{式(18)および } \omega^2 \text{ の微係数と式(14-2)に代入すれば、次式となる。}$$

$$\ddot{Y}_1 + \omega^2 Y_1 = \omega^2 \left\{ 2T_1 \frac{PA^0}{EA^0} + \frac{15}{8} \delta^2 \left(\frac{PA^0}{EA^0} \right)^2 \right\} \cos \omega t + T_1 \omega^2 \frac{PA^0}{EA^0} \sin \omega t + \frac{\omega^2}{8} \left(\frac{PA^0}{EA^0} \right)^3 \cos 3\omega t - \frac{3}{2} \omega^2 \left(\frac{PA^0}{EA^0} \right)^3 \cos 2\omega t - \frac{5}{2} \omega^2 \left(\frac{PA^0}{EA^0} \right)^3 \quad (19)$$

式(19)の解の各項と定数項 δ による $\cos \omega t$, $\sin \omega t$ の係数を零と仮定すれば、 T_1 に関する次の2つの微分方程式が与えられる。

$$\begin{aligned} T_1 + \frac{15}{8} \delta^2 \left(\frac{PA^0}{EA^0} \right)^2 &= 0, \quad \ddot{T}_1 = 0 \quad (20) \quad \text{式(20)と } T_1(0) = 0 \text{ の初期条件の } \delta \text{ とは解けば、} \\ T_1 &= -\frac{15}{8} \delta^2 \left(\frac{PA^0}{EA^0} \right)^2 \end{aligned} \quad (21)$$

よって、式(19)と式(15)の Y_1 に関する初期条件を用いて解けば、 Y_1 次のように求められる。

$$Y_1 = \frac{1}{32} \delta^2 \left(\frac{PA^0}{EA^0} \right)^3 (-80 + 65 \cos \omega t + 16 \cos 2\omega t - \cos 3\omega t) \quad (22)$$

同様にして、 T_2 および Y_2 と式(14-3)を用いて求められる。それぞれ次のように与えられる。

$$T_2 = \frac{3465}{256} \delta^4 \left(\frac{PA^0}{EA^0} \right)^4 \quad (23)$$

$$Y_2 = \frac{1}{128} \delta^4 \left(\frac{PA^0}{EA^0} \right)^5 \left\{ 2172 - \frac{12407}{8} \cos \omega t - 640 \cos 2\omega t + 15 \cos 3\omega t + 4 \cos 4\omega t - \frac{1}{8} \cos 5\omega t \right\} \quad (24)$$

式(18)～式(24)と式(12)に代入すれば、 Y の近似解が算定され、これを式(9)に代入すれば、矩形スラブの荷重を受ける扇形板の応答振幅 $F(t)/h$ が与えられることとなる。次のように結果に到達する。

$$\begin{aligned} F(t)/h &= \delta \left(\frac{PA^0}{EA^0} \right) (1 - \cos \omega t) + \frac{\delta^2}{32} \left(\frac{PA^0}{EA^0} \right)^3 (-80 + 65 \cos \omega t + 16 \cos 2\omega t - \cos 3\omega t) + \frac{\delta^2}{128} \left(\frac{PA^0}{EA^0} \right)^5 \left(2172 - \frac{12407}{8} \cos \omega t \right. \\ &\quad \left. - 640 \cos 2\omega t + 15 \cos 3\omega t + 4 \cos 4\omega t - \frac{1}{8} \cos 5\omega t \right) \end{aligned} \quad (25)$$

$$\therefore \xi = t / \left[1 - \frac{15}{8} \delta^2 \left(\frac{PA^0}{EA^0} \right)^2 + \frac{3465}{256} \delta^4 \left(\frac{PA^0}{EA^0} \right)^4 \right]$$

式(25)において、 δ の係数とすべて消去すれば、線形の場合の解が次のように与えられる。

$$F(t)/h = \delta \left(\frac{PA^0}{EA^0} \right) (1 - \cos \omega t) \quad (26)$$

(ii) 指数関数的減衰パルス型衝撃荷重(図-2(b))

$f(t) = e^{-\alpha t}$ とおいて、(i)の場合と全く同様に行けば、本題の解が与えられる。可なり、式(14-1)～式(14-3)から変位に関する2つ近似解 Y_1 と、時間に関する2つ近似解 T_2 を用いて、その解を求めれば、応答振幅 $F(t)/h$ が次のように算定される。

$$\begin{aligned} F(t)/h &= \frac{\delta}{1 + (\alpha/\omega)^2} \left(\frac{PA^0}{EA^0} \right) e^{-\alpha t} - \frac{\delta}{1 + (\alpha/\omega)^2} \left(\frac{PA^0}{EA^0} \right) (\cos \omega t - \frac{\alpha}{\omega} \sin \omega t) + \frac{\delta^3}{8} \left[\frac{1}{1 + (\alpha/\omega)^2} \left\{ \frac{1}{1 + 9(\alpha/\omega)^2} + \frac{3}{2} + \frac{1 - 3(\alpha/\omega)^2}{32} - \frac{3}{2} \frac{3 + 4(\alpha/\omega)^2 + (\alpha/\omega)^4}{16(\alpha/\omega)^2 + 3 - (\alpha/\omega)^4} \right\} \right. \\ &\quad \left. \cos \omega t + \left\{ -\frac{3(\alpha/\omega)}{1 + 9(\alpha/\omega)^2} - \frac{3}{2} \frac{\alpha}{\omega} + \frac{3}{4} \frac{1}{\alpha/\omega} + \frac{3}{32} (\alpha/\omega) \{-3 + (\alpha/\omega)^2\} + \frac{3}{2} \frac{(\alpha/\omega) \{7 + 9(\alpha/\omega)^2 + (\alpha/\omega)^4\}}{16(\alpha/\omega)^2 + 3 - (\alpha/\omega)^4} \right\} \sin \omega t - \frac{1}{1 + 9(\alpha/\omega)^2} e^{-3\alpha t} \right. \\ &\quad \left. - \frac{3}{2} \frac{e^{-\alpha t}}{\alpha/\omega} - \frac{3}{4} \frac{1}{\alpha/\omega} e^{-2\alpha t} \sin \omega t + \frac{1}{32} \{-1 + 3(\alpha/\omega)^2\} \cos 3\omega t - \frac{1}{32} (\alpha/\omega) \{-3 + (\alpha/\omega)^2\} \sin 3\omega t + \frac{3}{16} \frac{e^{-\alpha t}}{16(\alpha/\omega)^2 + 3 - (\alpha/\omega)^4} \right. \\ &\quad \left. [-2(\alpha/\omega) \{1 + (\alpha/\omega)^2\} \sin 2\omega t + \{3 + 4(\alpha/\omega)^2 + (\alpha/\omega)^4\} \cos 2\omega t] \right] \end{aligned} \quad (27)$$

$$\begin{aligned} \therefore \xi &= t / \left[1 - \frac{3}{8} \frac{\delta^2}{1 + (\alpha/\omega)^2} \left(\frac{PA^0}{EA^0} \right)^2 + \frac{\delta^2}{8} \frac{\delta^4}{1 + (\alpha/\omega)^2} \left(\frac{PA^0}{EA^0} \right)^4 \left[\frac{27}{128} \{1 + (\alpha/\omega)^2\} + \frac{3}{4} \frac{1 + 3(\alpha/\omega)^2}{1 + 9(\alpha/\omega)^2} + \frac{3}{256} \{1 + 10(\alpha/\omega)^2 - 7(\alpha/\omega)^4\} \right. \right. \\ &\quad \left. \left. - \frac{9}{8} \frac{3 + 11(\alpha/\omega)^2 + 9(\alpha/\omega)^4 + (\alpha/\omega)^6}{16(\alpha/\omega)^2 + 3 - (\alpha/\omega)^4} + \frac{9}{16} \{1 + 2(\alpha/\omega)^2\} \right] \right] \end{aligned}$$

なお、上式から本題の線形解は

$$F(t)/h = \frac{\delta}{1 + (\alpha/\omega)^2} \left(\frac{PA^0}{EA^0} \right) (e^{-\alpha t} - \cos \omega t + \frac{\alpha}{\omega} \sin \omega t) \quad (28)$$

3. 計算例 図-1において、開角 $\alpha = \pi/6$,
 内外径比 $\mu = 0.5850$ (扇形板の中央円弧長
 と(a-b)の比が1の場合)およびポアソ
 ン比 $\nu = 0.3$ なる全周固定した扇形板と
 対象に、(i),(ii)に示した衝撃荷重による応
 答と求めたのは次のとおりである。

矩形ステップ型衝撃荷重による応答曲
 線と求めたば図-3に示すように示す。こ
 の図において実線は非線形解を示し、虚線は
 線形解を示す。このより、荷重強度が増加
 するにつれて、応答振幅が増大し、非線形項の
 影響が顕著となることわかれる。また、
 応答周期が短くなる、振幅が減少する。

図-4は $\frac{p_0 a^2}{Eh^3} = 400$ の場合の指数関数的減衰
 パルス型衝撃荷重による応答曲線と示し
 ている。図において、衝撃荷重の減衰が線形
 振動の固有振動数に比べて緩やかな場合
 ($\omega/\omega_0 = 0.5$)には、応答振幅は荷重の影響を受け
 て大きく、しかも ω_0 で非線形の影響が大き
 く現われている。一方、衝撃荷重の減衰が
 急になると、振動系に及ぼす荷重の影
 響が小さくなり($\omega/\omega_0 = 1.5$)、当然ながら、非
 線形項の影響が小さくなることわかれる。

4. 結語 本研究は衝撃荷重を受ける扇
 形板の過渡応答と振動法を用いて求めた
 のである。このような解析法は解の全体
 的な見通しとすることは有効であるが、非線
 形項の影響が大きくなると誤差が増大して
 くる。このため、Runge-Kutta-Gill法を用いて、式(7)と重
 積法を組み合わせることで、本法による解

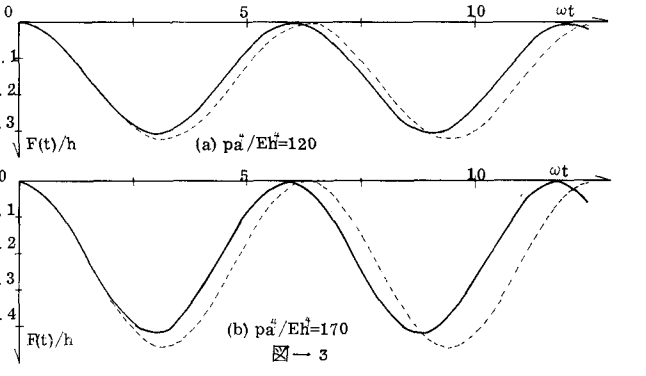


図-3

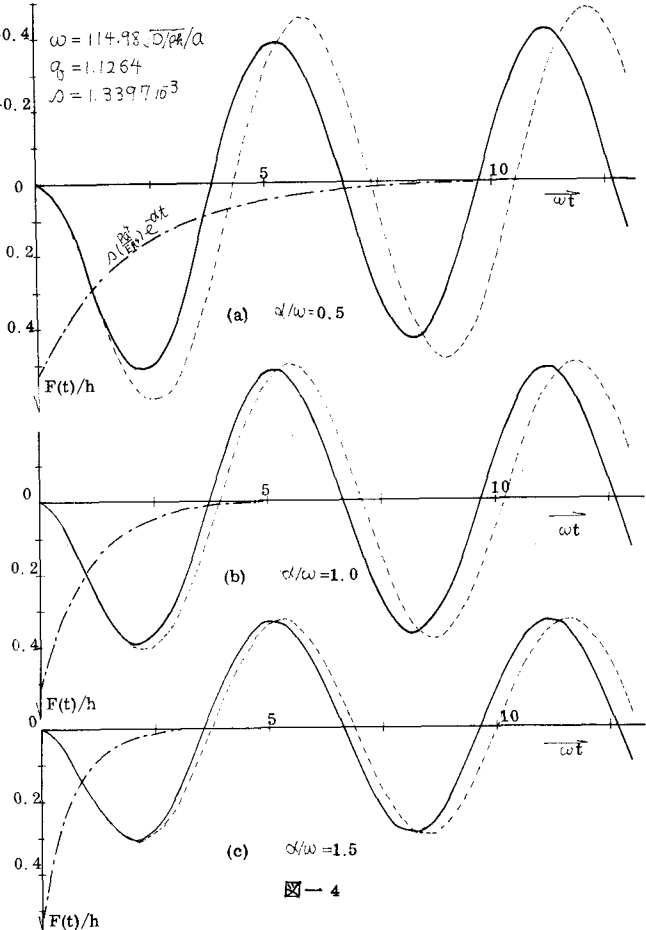


図-4

とを比較すれば、応答振幅が0.5以下であれば、十分に精度で両者の解が合致することは確かである。

参考文献

- 1) Thein Wah; Dynamic Response of Beams with Large Amplitudes, Journal of Aerospace Science, Vol. 27 (1960)
- 2) H. M. Berger; A New Approach to the Analysis of Large Deflections of Plates, J. Appl. Mech., Vol. 22 (1955)
- 3) T. Yamasaki, T. Takahashi; Nonlinear Free Vibrations of Continuous Rectangular Plates, Proc. 19th Japan Nat. Congr. Appl. Mech., 1969 (1970)
- 4) T. Yamasaki, T. Takahashi; Nonlinear Vibrations of Ring Sector Plates, Proc. 20th Japan Nat. Congr. Appl. Mech., 1970 (PP制14)
- 5) H. F. Bauer; The Response of A Nonlinear System to Pulse Excitation, Int. J. Nonlinear Mech., Vol. 1 (1966)